

УДК 543.4 : 621.315.592  
 © 1991

## ОПРЕДЕЛЕНИЕ ЭНЕРГИЙ ОБРАЗОВАНИЯ И МИГРАЦИИ ПЕРЕГИБА ПО ДАННЫМ О ПОДВИЖНОСТИ ДИСЛОКАЦИЙ В InSb

А. А. Жигалко

Уточняется развитая ранее теория подвижности дислокации в решетке с большими барьерами Пайерлса для случая относительно небольшой энергии перегиба. Полученные соотношения можно использовать для приближенной оценки энергии образования  $U_0$  и миграции  $W_m$  перегиба по данным о подвижности длинных дислокаций в достаточно совершенных кристаллах. Применительно к InSb получено:  $U_0 \sim 0.1, 0.2$  эВ,  $W_m \sim 0.7, 0.8$  эВ у  $\alpha$ - и  $\beta$ -дислокаций соответственно. Малым  $U_0$  отвечают более широкий спектр значений  $m$  в соотношении  $v \propto \sigma^m$  и более узкий интервал напряжений  $\sigma$ , при которых теория справедлива.

По существующим представлениям [1] дислокации в полупроводниках имеют большую энергию перегиба  $U_0 \sim 1 \div 2$  эВ и низкий барьер Пайерлса второго рода  $W_{P_2} \sim 0.05 \div 0.15$  эВ. В пользу первого говорят соотношение между  $U_0$  и барьером первого рода  $W_{P_1}$  в одномерном пайерлсовском рельефе ( $W_{P_1} = 2U_0$ ) [2] и оценка  $W_{P_1}$  из зависимости энергии активации дислокации  $W$  от напряжения  $\sigma$  [3, 4], в пользу второго — низкоэнергетические пики внутреннего трения в пластически деформированных полупроводниках [5, 6], а также оценки  $W_{P_2} \sim 0.04$  эВ (Si, Ge), выполненные в [7] для атомной модели перегиба.<sup>1</sup> Учет двумерности реального рельефа, однако, показывает [8], что  $W_{P_2}$ , возможно, значительно выше<sup>2</sup> (а  $U_0$ , следовательно, ниже, поскольку  $U_0 \leq W - W_{P_2}$  [9]). Об этом могут свидетельствовать также большое  $W_m \approx 1.8$  эВ в Si [12] и малая диффузионная длина  $L_0$  двойного перегиба (ДП) в Si ( $\sim 0.4$  мкм,  $T = 793 \div 888$  К,  $\sigma = 240$  МПа [13]) и Ge ( $0.3 - 0.5$  мкм,  $T = 678 \div 703$  К,  $\sigma = 35 \div 40$  МПа [14]), которой отвечают [9] значения  $U_0 \approx 0.4$  эВ (Si) и  $U_0 \approx 0.5 \div 0.55$  эВ (Ge) [14]. Предполагается [12], что отклонение реальных  $U_0$  и  $W_m$  в Si от теоретических вызвано взаимодействием перегибов с точечными дефектами [15-17]. В то же время возможность аналогичного объяснения малости  $L_0$  в InSb (у  $\beta$ -дислокаций  $1 \text{ мкм} \leq L_0 < 300 \text{ мкм}$ ,  $T = 453$  К,  $\sigma = 50$  МПа [4, 18]; у  $\alpha$ -дислокаций  $L_0 < 300$  мкм,  $T = 348 \div 573$  К,  $\sigma = 0.5 \div 50$  МПа [4, 19]; теоретическое  $L_0 \sim 10$  м [4, 9]) вызывает сомнение. Дело в том, что в нелегированном InSb не наблюдают [4, 19] наличия у дислокаций стартового напряжения — характерного признака взаимодействия дислокации с точечными дефектами в Si, Ge, GaAs [18]. Это позволяет надеяться, что  $U_0$ , определенное по данным о подвижности дислокаций, в InSb близко к значению  $U_0$  в идеальном кристалле.

Согласно [9],  $U_0$  можно найти либо по известному  $L_0$ , либо если сопоставить скорости  $v$  длинной ( $L \gg L_0$ ,  $v(L) = \text{const}$ ) и короткой ( $L \leq L_0$ ,

<sup>1</sup> Заметим, однако, что полученные в [7] оценки  $W_{P_1} \sim 0.23 \div 0.27$  эВ ставят под сомнение справедливость развитого в [7] подхода.

<sup>2</sup> Согласно [8],  $W_{P_2} \propto \exp\left[-(4G/\sigma_P)^{1/2}\right]$  ( $G$  — модуль сдвига,  $\sigma_P$  — напряжение Пайерлса). В полупроводниках  $\sigma_P \sim (1 \div 6) \cdot 10^9$  Па [3, 4], а, например, в Cu  $\sigma_P \leq \leq 10^6$  Па [10] и  $W_{P_2} \approx 0.08$  эВ [11].

$v \ll L$ ) дислокаций, как это сделано для Si и Ge в [14]. Поскольку данные о  $L_0$  и  $v$  коротких дислокаций получают сегодня только с помощью просвечивающей электронной микроскопии [13, 14, 18], нельзя исключить, что  $U_0$ , вычисляемое по этим данным, обусловлено взаимодействием перегибов с допороговыми радиационными дефектами.<sup>3</sup> Во втором способе дополнительным источником ошибки может оказаться неучтенный вклад в подвижность длинной дислокации механизма приповерхностной генерации одиночных перегибов (ОП). Этими обстоятельствами объясняется актуальность предпринимаемой в настоящей работе попытки оценить  $U_0$  непосредственно по данным о подвижности длинных  $\alpha$ - и  $\beta$ -дислокаций в InSb [4, 19], учтя при этом возможный вклад ОП.

Скорость длинной ( $L \gg L_0$ ) дислокации, согласно [9], связана с  $U_0$  и  $W_m$  соотношением  $v \propto \exp\{-(U_0 + W_m)/T\}$ , не позволяющим раздельно определить  $U_0$  и  $W_m$ . Это затруднение, однако, можно попытаться обойти, учтя зависимость от  $U_0$  нормировочной постоянной  $A$  в выражении для функции распределения  $f(l, t)$  случайной длины  $l$  ДП докритических размеров ( $l \leq l_c$ ). В [9] принималось  $A \sim b^{-1}$  ( $b$  — вектор Бюргерса), что справедливо, например, при дискретном спектре метастабильных состояний ДП  $l_k = kb$  ( $k=0, \pm 1, \pm 2, \dots; k < 0$  у ДП, выброшенного в направлении, противоположном  $v$ ) и малой суммарной вероятности неосновных ( $k \neq 0$ ) и промежуточных ( $l \neq l_k$ ) состояний. В противном случае  $A$  может существенно зависеть от  $U_0$ . Например, при низком вторичном рельефе ( $W - T \leq U_0 \leq W$ ) и монотонном возрастании энергии ДП  $U(l)$  в окрестности  $l=0$  или при больших  $W_{P_1}$  и  $W_{P_2}$  и не слишком быстром росте  $U(l_k)$  в окрестности  $l=0$ , что возможно при небольших  $U_0$ . В последнем случае диффузионная теория [9] нуждается в некоторых уточнениях.

## 1. Темп генерации за критических ДП при небольших $U_0$

Эволюция ДП, порождаемого некоторым произвольным элементарным участком  $[x, x+b]$  прямолинейной дислокации, описывается уравнениями

$$\frac{\partial}{\partial t} f(l, t) = -\frac{\partial}{\partial l} j(l, t), \quad (1)$$

$$j(l, t) = f(l, t)w(l) - \frac{\partial}{\partial l} \{D(l)f(l, t)\}, \quad (2)$$

$$f(l, 0) = \delta(l), \quad (3)$$

где  $\delta(l)$  — дельта-функция Дирака,  $w$  — скорость расширения ДП,  $D$  — коэффициент диффузии случайного  $l$

$$w(l) = -2nbv_0 \exp(-W_m/T) \operatorname{sh}\{b(\partial \mathcal{F}/\partial l)/2T\}, \quad (4)$$

$$D(l) = nb^2v_0 \exp(-W_m/T) \exp\{b(\partial \mathcal{F}/\partial l)/2T\}, \quad (5)$$

$n$  — количество перегибов в ДП;  $\mathcal{F}(l) = U(l) - \sigma ba l$ ;  $U(l)$  — нижняя огибающая осциллирующей (в двумерном рельефе) по  $l$  энергии ДП;  $a$  — период рельефа в направлении  $v$ ;  $v_0$  — максимальная частота термических колебаний перегиба. Предполагается, что  $W_m = W_{P_2} \gg |\sigma ba - U'(l)|b$ , так что зависимость  $W_m$  от  $\sigma$  и  $l$  можно пренебречь. Предполагается, что  $W_{P_1}$  достаточно высок и удерживает дислокацию от непосредственного перехода из одной долины в другую. Момент  $t=0$  соответствует перебору рассматриваемого сегмента дислокации в очередную долину каким-либо расширяющимся за критическим ( $l \geq l_c$ ) ДП. Для определенности «за-

<sup>3</sup> При облучении InSb электронами радиационное дефектообразование наблюдается уже при энергиях  $\sim 20$  кэВ [20], много меньших, чем при электронной микроскопии InSb (200 кэВ [18]).

критическим» будем считать ДП, достигший такой длины  $l$ , при которой вероятность его возвращения в основное состояние  $p(l)$  меньше  $e^{-1}$ .

«Растекание»  $f(l, t)$  из состояния (3) происходит условно в два этапа. На первом этапе в течение некоторого времени  $\tau_0$  растекание вероятности происходит в пределах области  $\Omega \equiv \{l < \bar{l} = l_c + \Delta l_c\}$  ( $\Delta l_c$  выбирается для определенности так, чтобы  $p(\bar{l}) = e^{-1} p(l_c)$ ). На втором этапе вероятность утекает из  $\Omega$  в квазистационарном режиме

$$f(l, t) \equiv 0, \quad l > \bar{l}, \quad t \leq \tau_0,$$

$$f(l, t) \approx f_0(l) \eta(l) \exp\{-(t - \tau_0)/\tau\}, \quad l < \bar{l}, \quad t \geq \tau_0, \quad (6)$$

$$\eta(0) = 1. \quad (7)$$

Здесь  $f_0(l)$  — бoльцмановская функция распределения

$$f_0(l) = A \exp\{-\mathcal{F}(l)/T\}, \quad (8)$$

$A$  определяется нормировкой  $f(l, t)$  на 1 или условием

$$\int_{\Omega} f_0(l) \eta(l) dl \approx 1. \quad (9)$$

Подставляя (6) в (2) и интегрируя (1) дважды по  $l$ , получим с учетом (7)

$$1 - \eta(l) = \tau^{-1} \int_0^l dl' \frac{1}{D(l') f_0(l')} \int_{-\infty}^{l'} dl'' f_0(l'') \eta(l''). \quad (10)$$

Приближение «точечных» перегибов  $U(l) = 2U_0 - ab/|l|$  ( $|l| \gg a$ ) [21] доопределим для  $l \sim a$  так, чтобы  $U=0$  в отсутствие ДП (при  $l=0$ )

$$U(l) = 2U_0 - ab/(l_0 + |l|), \quad l_0 = ba/2U_0. \quad (11)$$

Строгих оснований такой прием, конечно, не имеет, но как средство получения грубой оценки  $U_0$  может быть оправдан.

При не слишком больших  $l_c$  ( $\sigma > \sigma_*$ ,  $\sigma_*$  определяется условием (24)), вероятность, распределенная в узкой области  $\Omega' \equiv \{|l| \leq l_1 = baT/U_0^2\}$ , существенно выше при  $t = \tau_0$  вероятности, распределенной вне  $\Omega'$ , а  $f(l, \tau_0)$  в пределах  $\Omega'$  близко к (8). В этом случае  $A$  почти не зависит от  $\sigma$ , а интеграл по  $l''$  в (10) можно заменить единицей (что равносильно приближению постоянного тока в  $\Omega$ ). Тогда

$$\tau \approx \int_0^{\bar{l}} \{D(l) f_0(l)\}^{-1} dl \approx \int_0^{\infty} \{D(l) f_0(l)\}^{-1} dl, \quad (12)$$

$$\eta(l) \approx 1 - \tau^{-1} \int_0^l \{D(l') f_0(l')\}^{-1} dl', \quad l \geq l_1, \quad (13)$$

$$\mathbb{A} \approx A_0 = \left( \int_{\Omega'} \exp\{-\mathcal{F}(l)/T\} dl \right)^{-1} \approx 2 \frac{U_0^2}{aT} b^{-1}. \quad (14)$$

Из (12) и (13) видно, что  $\eta(l)$  имеет смысл вероятности возвращения ДП длиной  $l$  в основное состояние. Следовательно,  $l_c$  — корень уравнения  $\eta(l_c) = e^{-1}$ . Несложно убедиться в том, что учет зависимости  $D(l)$  (5) приводит к относительной поправке  $\gamma$  к  $\tau$ , вычисленному в приближении  $D(l) \equiv D(l \rightarrow \infty) = 2b^2 v_0 \exp(-W_m/T)$

$$\tau|_{D=D(l)} = (1 + \gamma) \tau|_{D=\text{const}}, \quad \gamma \sim (\exp[cb^2 a/2T] - 1)/2.$$

Ограничимся исследованием характерной экспериментальной ситуации  $\sigma b^2 a \ll T$ . Здесь  $\gamma$  мало и зависимостью  $D(l)$  можно пренебречь. Тогда

$$\tau \approx \nu_0^{-1} \frac{\alpha T}{2U_0^2} \exp \left\{ \frac{W_m + 2U_0}{T} \right\} \left( \frac{\alpha}{\sigma b^2 a} \right)^{1/2} K_1 \left( \left[ \frac{\sigma}{\sigma_0} \right]^{1/2} \right), \quad \sigma_0 = \frac{T^2}{4ab^2 a}, \quad (15)$$

$$\eta(l) = 1 - \frac{Q_l}{Q_\infty}, \quad l \geq l_1;$$

$$Q_l = \int_0^l \exp \left\{ -\frac{\sigma b a l + ab/(l + l_0)}{T} \right\} dl; \quad Q_\infty = Q_l |_{l \rightarrow \infty}, \quad (16)$$

$K_1$  — функция Макдональда. Соотношение (15) получено в приближении  $l_0 \ll l_c$  и отличается от аналогичного в [9] множителем  $(A_0 b)^{-1}$  и более узким интервалом применимости ( $\sigma_* \leq \sigma \leq T/b^2 a$ ). В одномерном рельефе ( $W_m \rightarrow 0$ ,  $U_0 \approx W \sim 1 \div 2$  эВ,  $\alpha \sim 0.5$  эВ,  $T \sim 0.05$  эВ) эта поправка уменьшает  $\tau$  в сотни раз, а в двумерном (небольшие  $U_0$ ) может быть использована для оценки  $U_0$  по данным о подвижности дислокации.

При больших  $\sigma$  ( $\sigma \geq \Xi \sigma_0$ )<sup>4</sup> получаем из (15) и (16)

$$\tau \approx \frac{\pi^{1/2}}{4} \nu_0^{-1} \frac{\alpha^{3/4}}{U_0^2} \frac{T^{3/2}}{(\sigma b^2 a)^{3/4}} \exp \left\{ \frac{W_m + 2U_0 - 2(\alpha \sigma b^2 a)^{1/2}}{T} \right\}, \quad (17)$$

$$\eta(l) \approx \begin{cases} 1, & 0 < l \leq 1 - \Delta l_c, \quad l \equiv l/l_c^*, \quad \Delta l_c \equiv \Delta l_c/l_c^* = \bar{\sigma}^{-1/4}, \quad \bar{\sigma} \equiv \sigma/4\sigma_0, \\ 1/2 - \pi^{-1/2}(l-1)/\Delta l_c, & |l-1| \leq \Delta l_c, \\ \pi^{-1/2} \bar{\sigma}^{-1/4} \exp \{-\bar{\sigma}^{1/2}(l-1)\}, & l \geq 1 + \Delta l_c, \end{cases} \quad (18)$$

$$l_c \approx l_c^* + \omega \Delta l_c, \quad \omega = \pi^{1/2}(1/2 - 1/e) \approx 0.234, \quad l_c^* \approx b(\alpha/\sigma b^2 a)^{1/2}. \quad (19)$$

Справедливость соотношений (15), (17)–(19) ограничивается сверху напряжением  $\sigma_{**}$ , определяемым соотношениями

$$\sigma_{**} = 4\sigma_0 \bar{\sigma}_{**}, \quad \bar{\sigma}_{**} = \min \left\{ \frac{\alpha}{T}, \bar{\sigma}_1 \right\}, \quad \bar{\sigma}_1 = \left\{ 2 \frac{U_0}{T} \left( 1 - \frac{1-\omega}{\bar{\sigma}_1^{1/4}} \right) \right\}^2, \quad (20)$$

где  $\sigma_1$  — напряжение, при котором  $l_c - \Delta l_c = l_0$ ;  $\alpha/T$  — относительное напряжение, выше которого приближение  $D = \text{const}$  несправедливо.

При малых  $\sigma$  ( $\sigma_* \leq \sigma \leq \theta \sigma_0$ )<sup>4</sup>

$$\tau \approx \frac{1}{4} \nu_0^{-1} \frac{\alpha}{U_0^2} \frac{T^2}{\sigma b^2 a} \exp \left\{ \frac{W_m + 2U_0}{T} \right\}, \quad (21)$$

$$\eta(l) |_{l \leq l_c^*} \approx 1, \quad \eta(l) |_{l \geq l_c^*} \approx \exp \{-l/l_c\}, \quad (22)$$

$$l_c \approx b(T/\sigma b^2 a), \quad \Delta l_c \approx l_c. \quad (23)$$

При  $\sigma = \sigma_*$  имеем (по определению  $\sigma_*$ )

$$\int_{l_1}^l \exp \left\{ -\frac{\mathcal{F}(l)}{T} \right\} \eta(l) dl = \frac{1}{2} A_0^{-1},$$

откуда с учетом (14), (22) и (23) находим

$$\sigma_* \approx (8U_0^2/\alpha b^2 a) \exp \{-2U_0/T\}. \quad (24)$$

Область температур, в которой соотношения (21)–(23) несправедливы ни при каких  $\sigma$ , определяется условием  $\theta \sigma_0 \leq \sigma_*$  или

$$(2U_0/T)^2 \exp(-2U_0/T) \geq \theta/8 \rightarrow T \geq U_0/4, \quad \theta = 1/4. \quad (25)$$

<sup>4</sup> Можно для определенности принять  $\Xi = \theta^{-1} = 4$ . При этом относительная ошибка в (17) и (21)  $\sim 1/4$  при  $\sigma = \Xi \sigma_0$  и  $\sigma = \theta \sigma_0$ .

$$\tau_0 \approx \int_0^l \frac{f_0(l) \eta(l)}{j_*(l)} dl = \tau \int_0^l f_0(l) \eta(l) [1 - \eta(l)] dl, \quad j_*(l) \approx \left\{ \int_0^l \frac{dl'}{Df_0(l')} \right\}, \quad (26)$$

где  $j_*(l)$  — ток через границу области растекания вероятности  $\{0 < l' < l\}$ , вычисленный в приближении своего постоянства в пределах этой области. При больших и малых  $\sigma$  из (18), (19), (26) и (22), (23), (25), (26) имеем соответственно

$$\tau_0 \approx \frac{1}{2} \tau \bar{\sigma}^{-3/4} \left( \frac{2U_0}{T} \right)^2 \exp \left\{ -\frac{2U_0}{T} + 2\bar{\sigma}^{1/2} \right\}, \quad 1 \leq \bar{\sigma} \leq \bar{\sigma}_{**}, \quad (27)$$

$$\tau_0 \approx 4\tau (\sigma/\sigma_0)^{-1} (2U_0/T)^2 \exp(-2U_0/T), \quad \sigma_* \leq \sigma \leq \theta\sigma_0, \quad T \leq U_0/4. \quad (28)$$

Темп генерации закритических ДП рассматриваемым элементарным участком дислокации без учета взаимодействия с другими ДП равен  $\tau_g^{-1} = (\tau_0 + \tau)^{-1}$ .

## 2. Подвижность дислокации, определяемая двойными перегибами

Среднее (по ансамблю индивидуальных дислокаций длиной  $L$ ) количество закритических ДП на дислокации  $N(t)$  удовлетворяет уравнениям

$$\frac{dN}{dt} = \frac{L}{\Delta x} \frac{1}{\tau_g} \frac{(\tau_1 - \tau_0)}{\tau_1} \chi \{ \tau_1 > \tau_0 \} - \frac{N}{\tau_1}, \quad N \geq 1, \quad (29)$$

$$\frac{dN}{dt} \approx \frac{L}{\Delta x} \frac{1}{\tau_g} - \frac{N}{\tau_1}, \quad N \leq 1, \quad (30)$$

где  $L/\Delta x$  — количество мест возможного зарождения ДП;  $\tau_1$  — время жизни закритического ДП; множитель  $(\tau_1 - \tau_0)/\tau_1$  в (29) введен для учета «сбрасывания» распределения  $f(l, t)$  в состояние (3) потоком через сегмент  $[x, x + \Delta x]$  перегибов, принадлежащих закритическим ДП;  $\chi \{ \dots \}$  — индикатор условия  $\{ \dots \}$ . Положим  $\Delta x = b [2^L]$ . Выбор  $\Delta x = l_c$  [9] (для упрощенного учета взаимодействия докритических перегибов) можно было бы отчасти оправдать, если бы «дорастание» ДП до критических размеров происходило монотонно. В зависимости от преобладающего способа аннигиляции перегибов (при  $N \leq 1$  — на поверхности кристалла, при  $N \geq 2$  — взаимная) имеем  $\tau_1 \approx L/\bar{w}$ ,  $N \leq 1$  либо  $\tau_1 \approx L/N\bar{w}$ ,  $N \geq 2$ . Здесь  $\bar{w}$  — постоянная (для простоты) скорость расширения закритических ДП

$$w(l) |_{l \gg l_c} \approx \bar{w} = w(l) |_{l \gg l_c} = 2bv_0 T^{-1} \sigma b^2 a \exp(-W_m/T). \quad (31)$$

Стационарные ( $dN=0$ ) решения уравнений (29) и (30) отвечают установившейся скорости дислокации

$$v = b\bar{w} \frac{N}{L} \approx \begin{cases} 2b\tau_0^{-1} (1 + [1 + 4b\tau_g/\bar{w}\tau_0^2]^{1/2})^{-1}, & L \geq 2L_0 (N \geq 2), \\ L\tau_g^{-1}, & L \leq L_0 (N \leq 1), \end{cases} \quad (32)$$

$$(33)$$

где

$$L_0 = \frac{1}{2} \tau_0 \bar{w} \left( 1 + \left[ 1 + \frac{4b\tau_g}{\bar{w}\tau_0^2} \right]^{1/2} \right). \quad (34)$$

Для целей работы интересен случай  $L \geq L_0$ . Здесь возникают две характерные ситуации

$$v \approx \begin{cases} (b\bar{w}/\tau_g)^{1/2}, & L_0 = \frac{L}{N} \approx \begin{cases} (b\bar{w}\tau_g)^{1/2}, & \psi \equiv (\bar{w}\tau_0^2/b\tau_g)^{1/2} \leq 1, \\ \tau_0 \bar{w}, & \psi \geq 2. \end{cases} \end{cases}$$

При  $\Xi\sigma_0 \leq \sigma \leq \sigma_{**}$  с учетом (17), (27) и (31) получим

$$v \approx \begin{cases} \frac{2}{\pi^{1/2}} b v_0 \frac{1}{T a^{1/2}} (\sigma b^2 a)^{3/2} \exp\left(-\frac{W_m}{T}\right), & \psi \geq 2, \\ \frac{2^{3/2}}{\pi^{1/4}} b v_0 \frac{U_0}{\alpha^{3/8} T^{3/4}} (\sigma b^2 a)^{7/8} \exp\left\{-\frac{W_m + U_0 - (\alpha \sigma b^2 a)^{1/2}}{T}\right\}, & \psi \leq 1, \end{cases} \quad (35)$$

$$v \approx \begin{cases} \frac{2^{3/2}}{\pi^{1/4}} b v_0 \frac{U_0}{\alpha^{3/8} T^{3/4}} (\sigma b^2 a)^{7/8} \exp\left\{-\frac{W_m + U_0 - (\alpha \sigma b^2 a)^{1/2}}{T}\right\}, & \psi \leq 1, \\ \frac{2}{\pi^{1/2}} b v_0 \frac{1}{T a^{1/2}} (\sigma b^2 a)^{3/2} \exp\left(-\frac{W_m}{T}\right), & \psi \geq 2, \end{cases} \quad (36)$$

$$\psi \approx 2^{1/2} \pi^{1/4} (\alpha/T)^{1/2} (U_0/T) \exp(-U_0/T) \bar{\sigma}^{-5/8} \exp(\bar{\sigma}^{1/2}), \quad \bar{\sigma} \equiv \sigma/4\sigma_0,$$

$$L_0 \approx \begin{cases} \pi^{1/2} b (\alpha/\sigma b^2 a)^{1/2} \equiv \pi^{1/2} l_c, & \psi \geq 2, \\ 2^{-1/2} \pi^{1/4} b \frac{T^{1/4} \alpha^{5/8}}{U_0} (\sigma b^2 a)^{1/8} \exp\left\{\frac{1}{T} (U_0 - [\alpha \sigma b^2 a]^{1/2})\right\}, & \psi \leq 1. \end{cases} \quad (37)$$

$$L_0 \approx \begin{cases} \pi^{1/2} b (\alpha/\sigma b^2 a)^{1/2} \equiv \pi^{1/2} l_c, & \psi \geq 2, \\ 2^{-1/2} \pi^{1/4} b \frac{T^{1/4} \alpha^{5/8}}{U_0} (\sigma b^2 a)^{1/8} \exp\left\{\frac{1}{T} (U_0 - [\alpha \sigma b^2 a]^{1/2})\right\}, & \psi \leq 1. \end{cases} \quad (38)$$

При  $\sigma_* \leq \sigma \leq \theta\sigma_0$  с помощью (21), (28), (31) находим

$$v \approx \begin{cases} 2^{3/2} b v_0 \frac{U_0}{T^{3/2} \alpha^{1/2}} \sigma b^2 a \exp\left\{-\frac{W_m + U_0}{T}\right\}, & \psi \leq 1, \\ b v_0 \left(\frac{\sigma b^2 a}{T}\right)^2 \exp\left(-\frac{W_m}{T}\right), & \psi \geq 2, \end{cases} \quad (39)$$

$$v \approx \begin{cases} 2^{3/2} b v_0 \frac{U_0}{T^{3/2} \alpha^{1/2}} \sigma b^2 a \exp\left\{-\frac{W_m + U_0}{T}\right\}, & \psi \leq 1, \\ b v_0 \left(\frac{\sigma b^2 a}{T}\right)^2 \exp\left(-\frac{W_m}{T}\right), & \psi \geq 2, \end{cases} \quad (40)$$

$$\psi \approx 2^{3/2} (\alpha/T)^{1/2} \bar{\sigma}^{-1} (U_0/T) \exp(-U_0/T),$$

$$L_0 \approx \begin{cases} 2^{-1/2} b \left(\frac{\alpha}{T}\right)^{1/2} \frac{\exp(U_0/T)}{(U_0/T)}, & \psi \leq 1, \\ 2b \frac{T}{\sigma b^2 a}, & \psi \geq 2. \end{cases} \quad (41)$$

$$L_0 \approx \begin{cases} 2^{-1/2} b \left(\frac{\alpha}{T}\right)^{1/2} \frac{\exp(U_0/T)}{(U_0/T)}, & \psi \leq 1, \\ 2b \frac{T}{\sigma b^2 a}, & \psi \geq 2. \end{cases} \quad (42)$$

Соотношения (35), (36), (39), (40) и (37), (38), (41), (42) следуют в порядке убывания  $\sigma$ .

### 3. Вклад одиночных перегибов в подвижность дислокации

Ограничимся рассмотрением случая нормальной к поверхности кристалла дислокации. Энергия ОП с учетом сил изображения [21] и соотношения (11) равна  $U(l) = U_0 - \alpha b/4 (l_0 + |l|)$ ,  $|l|$  — расстояние от перегиба до поверхности. В формулах (1)–(5) случаю ОП соответствует  $n=1$ . Таким образом, после подстановки

$$U_0/2 \rightarrow U_0, \quad \alpha/4 \rightarrow \alpha, \quad v_0/2 \rightarrow v_0 \quad (43)$$

полученные выше для  $\tau$ ,  $\tau_0$ ,  $\tau_g$ ,  $\bar{w}$  выражения будут описывать ОП-модель. Аналогом (29), (30) служит уравнение  $dN = 2\tau_g^{-1} dt - N\tau_1^{-1} dt$  (если генерация ОП на обоих концах дислокации идет в одинаковом темпе);  $\tau_1 \approx L/\bar{w}$  при  $N \leq 1$ , когда ОП аннигилируют на противоположном от места зарождения конце дислокации;  $\tau_1 \approx L/2\bar{w}$  при  $N \geq 2$ , когда ОП аннигилируют друг на друге во встречных потоках. Установившаяся ( $dN=0$ ) скорость дислокации

$$v = b\bar{w} \frac{N}{L} = x b \tau_g^{-1}, \quad x \approx \begin{cases} 2, & L \leq L_0 = \bar{w}\tau_g, \\ 1, & L \geq 2L_0. \end{cases} \quad (44)$$

Заметная зависимость  $v$  от  $L$  будет наблюдаться только в полосе  $L_0 \leq L \leq 2L_0$ . Если же ОП генерируются только на одном конце дислокации, то  $x=1$ .

При больших и малых напряжениях из (17), (21), (27), (28), (43), (44) найдем, что  $\tau_g \approx \tau$  и

$$v \approx \begin{cases} \frac{2^{3/2}}{\pi^{1/2}} \chi b v_0 \frac{U_0^2}{a^{3/4}} \frac{(\sigma b^2 a)^{3/4}}{T^{3/2}} \exp\left\{-\frac{W_m + U_0 - (\alpha \sigma b^2 a)^{1/2}}{T}\right\}, & \Xi \sigma_0^{(O\Pi)} \leq \sigma \leq \sigma_{**}^{(O\Pi)}, \\ 2 \chi b v_0 \frac{U_0^2}{a} \frac{\sigma b^2 a}{T^2} \exp\left\{-\frac{W_m + U_0}{T}\right\}, & \sigma_*^{(O\Pi)} \leq \sigma \leq \theta \sigma_0^{(O\Pi)}, \end{cases} \quad (45)$$

где  $\sigma_0^{(O\Pi)} = 4\sigma_0$ ,  $\sigma_*^{(O\Pi)} = \sigma_* \exp(U_0/T)$ ,  $\sigma_{**}^{(O\Pi)} \approx \sigma_{**}$ .

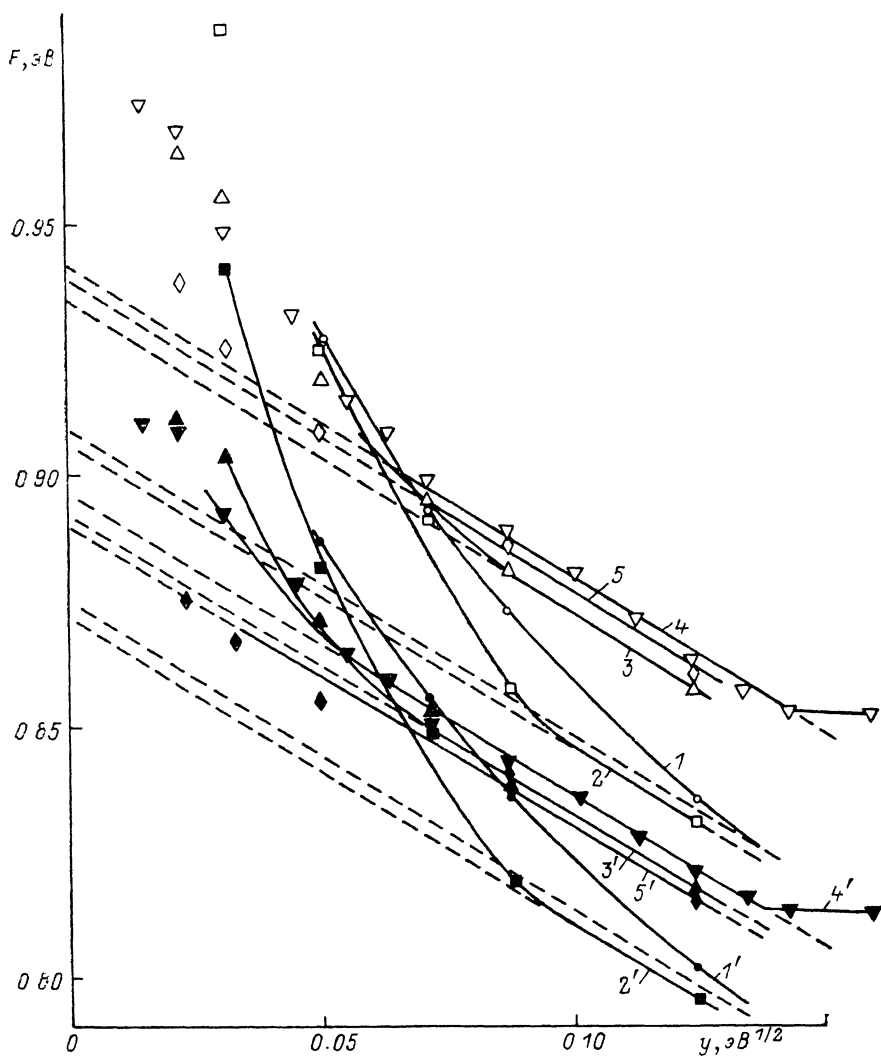


Рис. 1. Зависимости [19] скорости  $\alpha$ -дислокаций от приложенного напряжения при равных  $T$  в монокристаллах InSb, перестроенные в координатах  $F, y$ .

1-5 — модель ОП, 1'-5' — модель ДП.  $T$  ( $^{\circ}\text{C}$ ): 1, 1' — 75; 2, 2' — 100; 3, 3' — 150; 4, 4' — 200; 5, 5' — 225.

Соотношение между вкладами ДП и ОП в подвижность дислокации  $q = v(\text{ДП})/v(\text{ОП})$  при больших  $\sigma$  имеет вид

$$q \approx \begin{cases} 2^{-1/2} \chi^{-1} \left(\frac{T}{U_0}\right)^2 \bar{\sigma}^{3/4} \exp\left(\frac{U_0}{T} - \bar{\sigma}^{1/2}\right) < \pi^{1/4} \chi^{-1} \bar{\sigma}^{1/8} \frac{(\alpha T)^{1/2}}{U_0}, & \psi \geq 2, \\ \pi^{1/4} \chi^{-1} \bar{\sigma}^{1/8} (\alpha T)^{1/2} / U_0, & \psi \leq 1, \end{cases}$$

при малых  $\sigma$

$$q \approx \begin{cases} 2^{1/2} \chi^{-1} \frac{(T\alpha)^{1/2}}{U_0}, & \theta_1 \leq \tilde{\sigma} \leq \frac{\theta}{4}; \quad \theta_1 = 2^{3/2} \left(\frac{\alpha}{T}\right)^{1/2} \left(\frac{U_0}{T}\right) \exp\left(-\frac{U_0}{T}\right), \\ \frac{1}{2} \chi^{-1} \left(\frac{T}{U_0}\right)^2 \exp\left(\frac{U_0}{T}\right) \tilde{\sigma} < 2^{1/2} \chi^{-1} \frac{(T\alpha)^{1/2}}{U_0}, & \tilde{\sigma}_* \leq \tilde{\sigma} \leq \theta_1. \end{cases}$$

Отсюда видно, что при небольших  $U_0$  ( $U_0 \leq (T\alpha/2)^{1/2}$ ) подвижность дислокации определяется преимущественно ДП, если  $\sigma$  не слишком велико ( $\psi \leq 1$ ) и не слишком мало ( $\tilde{\sigma} \geq \theta_1$ ). Напротив, при больших  $U_0$  ( $U_0 \approx W$ ) имеем  $T \ll U_0^2/\alpha$ , следовательно, основной вклад в подвижность делают ОП.

#### 4. Оценка $U_0$ по данным о подвижности дислокаций в InSb

Воспользуемся данными о подвижности длинных ( $L \geq 300$  мкм)  $\alpha$ -дислокаций в InSb, полученными в работе [19]. Исследованному здесь интервалу температур 348—498 К соответствуют  $\sigma_0 = 1.1 \div 2.3$  и  $\sigma_0^{(ОП)} = 4.4 \div 9.2$  МПа. Таким образом, исследованный в [19] интервал напряжений 1—49 МПа гарантированно пересекается лишь с областью больших напряжений, где подвижность описывается соотношениями (36) и (45). Перепишем их в виде

$$V(t) - \beta y = F(y), \\ y^2 \geq \bar{\epsilon} y_0^2, \quad y_0^2 = \sigma_0 b^2 a,$$

где

$$y \equiv (\sigma b^2 a)^{1/2}, \quad \beta = \alpha^{1/2}, \\ V(T) \equiv W_m + U_0 + T \ln \frac{\beta \bar{\epsilon}}{U_0^2},$$

$$F(y) \equiv T \left( r + 2m \ln \frac{y}{y_0} \right). \quad (46)$$

В ОП-модели  $\chi = 1$ ,  $\xi = 5/4$ ,  $r = -\ln(2^{3/2} \pi^{-1/2} b \nu_0 T^{-3/4})$ ,  $m = 7/8$ . В ОП-мо-

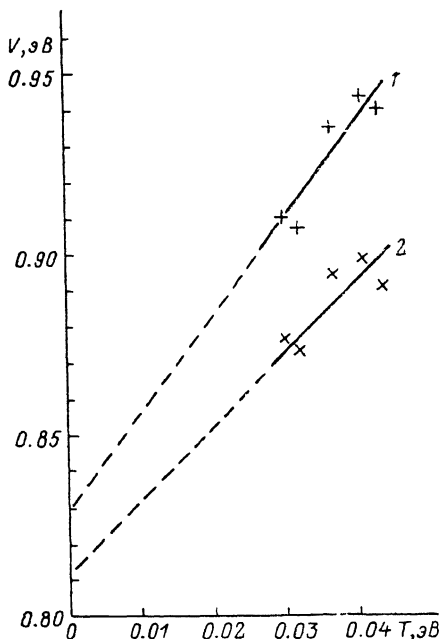


Рис. 2. К процедуре графического определения  $U_0$  и  $W_m$ .

1 — модель ОП, 2 — модель ДП.

дели  $\chi = 2$ ,  $\xi = 5/2$ ,  $r = \ln(2^{3/2} \pi^{-1/2} b \nu_0 T^{-3/2})$ ,  $m = 3/4$ . Положим  $\nu_0 = \nu_b \approx 4 \cdot 10^{12}$  с $^{-1}$  (дебаевская частота). Зависимости  $v(\sigma)$  [19] перестроены в координатах  $y, F$  на рис. 1.

В ОП-модели зависимости  $F(y)$  в интервале  $y_0 \leq y \leq 0.14$  эВ $^{1/2}$  при  $T \geq 423$  К имеют предсказываемый теорией линейный участок с наклоном, близким к теоретическому, —  $\beta \approx 0.63$  эВ $^{1/2}$ . При  $T = 348$  и  $T = 373$  К теория и эксперимент согласуются хуже. Значения  $F(y=0) \equiv V(T)$  аппроксимируются линейной по  $T$  зависимостью, из которой (рис. 2) с помощью (46) найдем  $U_0 \approx 0.14$  эВ и  $W_m \approx 0.69$  эВ. В ДП-модели для  $\alpha$ -дислокаций имеем  $U_0 \approx 0.07$  эВ и  $W_m \approx 0.74$  эВ — достоверность этих оценок ниже, что видно из рис. 2 и следует из того, что  $q \approx 0.5 \div 0.6$  ( $\psi \approx 0.3 \div 0.7$ ).

Аналогично обработав данные о  $v(\sigma, T)$   $\beta$ -дислокаций [4], получим  $U_0 \approx 0.19$  эВ и  $W_m \approx 0.79$  эВ (ОП-модель,  $q \approx 0.4 \div 0.5$ ,  $\psi \approx 0.08 \div 0.30$ ).



Полученные оценки  $U_0$  можно считать справедливыми лишь по порядку величины. Во-первых, это обусловлено известным произволом модельной зависимости  $U(l)$ . Во-вторых, значения  $U_0$  с трудом удовлетворяют условию «малости» ( $U_0 \leq \bar{U}_0 = (\alpha T/2)^{1/2}$ ), при котором  $A = A(U_0)$  благодаря тому, что статистическая сумма дискретного распределения длин метастабильных докритических ДП заметно отличается от 1 и ее можно приближенно заменить интегралом (14). В то же время найденные  $U_0$  противоречат предположению о малости  $W_m$  ( $W_m \leq T$ ), поскольку  $A$  имеет вид (14) и тогда, когда  $W - T \leq U_0 \leq W$ . Поправки, связанные с уточнением  $\nu_0$ , не должны отразиться на порядке  $U_0$ , если  $\nu_0$  и  $\nu_D$  одного порядка, поскольку  $U_0 = U_0 |_{\nu_0 = \nu_D} (\nu_D/\nu_0)^{1/2}$ . По-видимому, оценка  $U_0 \sim \sim 0.1 \div 0.2$  эВ несколько занижена, поскольку теоретическое  $L_0^{(DII)} \sim \sim (5 \div 7) \cdot 10^{-3}$  мкм меньше экспериментального  $L_0^{(III)} \geq 1$  мкм [18]. Сопоставление подвижностей длинных [4] и коротких [18]  $\beta$ -дислокаций при  $T = 453$  К и  $\sigma \approx 50$  МПа, согласно (17), (26), (33), (36), также дает более высокое  $U_0$

$$U_0 = (\alpha b^2 a)^{1/2} + T \{ \ln(2^{1/2} \nu_{l \gg l_0} / b) - \ln(\partial \nu_{l \leq l_0} / \partial L) \} \approx 0.34 \text{ эВ.} \quad (47)$$

Нельзя, однако, исключать, что расхождения в  $L_0$  и  $U_0$  вызваны замедлением эволюции докритических ДП в присутствии допороговых радиационных дефектов при электронной микроскопии коротких дислокаций в [18] либо влиянием на подвижность длинных дислокаций остаточной примеси, о чем может свидетельствовать ухудшение согласия теоретических и экспериментальных зависимостей  $\nu(\sigma)$  при понижении  $T$  и  $\sigma$  (рис. 1).

Если, как было условлено, отбросить предположение об определяющем влиянии на найденные значения  $U_0$  и  $W_m$  точечных дефектов, то большое значение  $W_m (\approx W_{P2})$  физически означает, что натяжение дислокации не способно «поднять» ее (на участке перегиба) достаточно высоко над долинами поперечного рельефа Пайерлса. Малость  $U_0$  означает при этом, что  $W_{P2} \sim W_{P1}$ . К сожалению, проверить этот вывод трудно, поскольку количественные оценки  $W_{P1}$ , кроме соответствующих одномерному рельефу [4], неизвестны.

В теории подвижности малость энергии перегиба имеет важные следствия. Значительно сужается область напряжений, где соотношения теории можно считать справедливыми  $\sigma_* \leq \sigma \leq \sigma_{**}$ . При  $\sigma \geq \sigma_{**}$  необходимо учитывать, что  $D = D(l)$  и  $\tau = \tau(l_0)$ , а при  $\sigma \leq \sigma_*$ , что  $A = A(\sigma)$ . Соответствующее усложнение теории не вызывает принципиальных затруднений, но при  $\sigma \leq \sigma_*$  едва ли оправдано, поскольку при  $\sigma \leq \sigma \sim \sim \sigma_*$  соседние докритические ДП взаимно перекрываются и диффузионная модель [9, 21] теряет смысл. Действительно, при  $\sigma = \sigma$  по определению  $\sigma$  имеем

$$\langle l \rangle \equiv 2A \int_0^{l_0} l \exp\{-F(l)/T\} dl = b,$$

где  $\langle l \rangle$  — средняя длина докритического ДП. Положив  $A \approx A_0$ , получим

$$\sigma \approx (2T/\alpha)^{1/2} U_0 \exp(-U_0/T) / b^2 a.$$

В частности, у  $\alpha$ -дислокаций при  $T = 350 \div 500$  К  $\sigma_* \approx 2 \div 7$  и  $\sigma \approx 1 \div 5$  МПа.

Полученным оценкам  $U_0 \sim \bar{U}_0$  отвечают приблизительно одинаковые вклады ОП и ДП в подвижность дислокации. Если же  $U_0 > \bar{U}_0$ , о чем, возможно, свидетельствует оценка (47), то  $A \approx b^{-1}$ , а поскольку  $q \sim (Ab)^{-1/2}$  при всех  $U_0$  и умеренных  $\sigma$ , то соотношение между вкладами не должно существенно измениться. В пользу такого вывода свидетельствует, по-видимому, наблюдавшееся в [13] увеличение в 2 раза скорости 60-градусных сегментов дислокационных петель в Si в результате их «выхода» на поверхность.

Одним из следствий малости  $U_0$  должен быть пересмотр подходов к интерпретации низкоэнергетических пиков внутреннего трения в полупроводниках (0.05 и 0.08 эВ в InSb [6]). Как правило, они отождествляются с барьерами Пайерлса второго рода, однако в свете полученных результатов можно предположить, что это пики Бордони. Попытка такой интерпретации уже предпринималась в работе [22] в отношении пика 0.16 эВ (Si). При этом, однако, использовались соотношения из работы [23], подвергшейся критике в [21].

#### Список литературы

- [1] Мильвидский М. Г., Освенский В. Б. Структурные дефекты в монокристаллах полупроводников. М.: Металлургия, 1984. 256 с.
- [2] Гийо П., Дорн Дж. // Актуальные вопросы теории дислокаций. М.: Мир, 1968. С. 270—310.
- [3] Ерофеев В. Н., Никитенко В. И. // ЖЭТФ. 1971. Т. 60. № 5. С. 1780—1786.
- [4] Ерофеева С. А., Осипьян Ю. А. // ФТТ. 1973. Т. 15. № 3. С. 772—776.
- [5] Ohori K., Sumino K. // Phys. St. Sol. (a). 1972. V. 14. N 2. P. 489—499.
- [6] Ohori K., Sumino K. // Phys. St. Sol. (a). 1974. V. 21. N 1. P. 217—225.
- [7] Labush R. // Phys. St. Sol. 1965. V. 10. N 2. P. 645—657.
- [8] Petukhov V. V., Polyakov Yu. I. // Bulgar. J. Phys. 1988. V. 15. N 5. P. 429—436.
- [9] Казанцев А. П., Покровский В. Л. // ЖЭТФ. 1970. Т. 58. № 2. С. 677—682.
- [10] Сузуки Т., Иши Т. // Физика прочности и пластичности. М.: Металлургия, 1972. С. 133—152.
- [11] Brailsford A. D. // Phys. Rev. 1961. V. 122. N 3. P. 778—786.
- [12] Никитенко В. И., Фарбер Б. Я., Иунин Ю. Л. // ЖЭТФ. 1987. Т. 93. № 4. С. 1304—1318.
- [13] Louchet F. // Phil. Mag. A. 1981. V. 43. N 5. P. 1289—1297.
- [14] Louchet F., Cochet Muchy D., Brechet Y. // Phil. Mag. A. 1988. V. 57. N 2. P. 327—335.
- [15] Малыгин Г. А. // ФТТ. 1982. Т. 24. № 9. С. 2757—2762.
- [16] Никитенко В. И. Динамика дислокаций. Киев: Наукова думка, 1975. С. 7—26.
- [17] Антипов С. А., Батаронов И. Л., Дрожжин А. И., Мишин И. В., Рошупкин А. М. // ФТТ. 1989. Т. 31. № 9. С. 163—169.
- [18] Fnaiech M., Reynaud F., Couret A., Caillard D. // Phil. Mag. A. 1987. V. 55. N 4. P. 405—423.
- [19] Осипьян Ю. А., Ерофеева С. А. // ФТТ. 1969. Т. 11. № 4. С. 944—950.
- [20] Вавилов В. С., Кив А. Е., Ниязова О. Р. Механизмы образования и миграции дефектов в полупроводниках. М.: Наука, 1981. 368 с.
- [21] Хирт Дж., Лоте И. Теория дислокаций. М.: Атомиздат, 1972. 600 с.
- [22] Стародубцев С. В., Кайпназаров Д. К., Хизниченко Л. П., Кроммер П. Ф. // ФТТ. 1966. Т. 8. № 6. С. 1924—1928.
- [23] Seeger A., Donth H., Pfaff F. // Discuss. Faraday Soc. 1957. № 23. P. 19—30.

НПО «Орион»  
Москва

Поступило в Редакцию  
16 марта 1990 г.  
В окончательной редакции  
15 октября 1990 г.